

МАГНИТОСОПРОТИВЛЕНИЕ НЕСТАЦИОНАРНОГО МАГНИТНОГО ТУННЕЛЬНОГО ПЕРЕХОДА

Д. В. Абдулкадыров, Н. Н. Белецкий

*Институт радиофизики и электроники им. А. Я. Усикова НАН Украины
12, ул. Ак. Проскуры, Харьков, 61085, Украина
E-mail: beletski@ire.kharkov.ua*

Исследовано туннелирование электронов через нестационарный магнитный туннельный переход в приближении малой амплитуды переменного электрического поля. Изучена зависимость активной и реактивной составляющих высокочастотного туннельного магнитосопротивления перехода от приложенного постоянного напряжения смещения. Ил. 4. Библиогр.: 17 назв.

Ключевые слова: туннелирование электронов, нестационарный магнитный туннельный переход, высокочастотный ток.

Исследование туннелирования электронов через потенциальный барьер занимает важное место в исследовании физических процессов в твердых телах [1, 2]. Интерес к этому эффекту существенно возрос в связи с активным развитием наноэлектроники и спинтроники [3, 4]. Особенно большое значение туннелирование электронов через потенциальный барьер имеет для создания наноэлектронных приборов, работающих в терагерцевой области спектра [5]. В этой связи актуальной задачей является исследование влияния нестационарности потенциального барьера на процессы туннелирования электронов.

Туннелирование электронов через нестационарный потенциальный барьер исследовалось в ряде работ [6–13]. В работах [6–8] было показано, что если высота потенциального барьера изменяется с частотой ω , то в спектре прошедших и отраженных электронных волн появляются электроны с энергиями $\varepsilon \pm j\hbar\omega$, где ε – начальная энергия электронов, падающих на нестационарный потенциальный барьер; $j = 1, 2, \dots$; $\hbar = h/2\pi$ (h – постоянная Планка). Это означает, что взаимодействие электронов с высокочастотным электромагнитным полем в потенциальном барьере приводит к поглощению или излучению электронами j квантов электромагнитного поля $\hbar\omega$. В работах [9, 10] было представлено точное решение уравнения Шредингера для потенциального барьера конечной ширины, находящегося под действием постоянного и переменного электрических полей. Однако исследование плотности высокочастотного электронного тока через какой-либо конкретный нестационарный туннельный переход с помощью точных решений уравнения Шредингера в этих работах не было проведено. В работах [11, 12] был рассмотрен случай прямоугольного потенциального барьера, к которому прикладывалось лишь переменное высокочастотное напряжение смещения. Предполагалось, что туннелирование электронов происходит с поглощением или испусканием лишь од-

ного кванта электромагнитного поля $\hbar\omega$. При этом был рассмотрен лишь случай сравнительно низких частот, когда $\hbar\omega$ много меньше начальной энергии электронов ε . Аналитическое выражение для плотности высокочастотного электронного тока через нестационарный туннельный переход было получено в работах [11, 12] в предельном случае малой прозрачности барьера (толстого потенциального барьера).

Работа [13] посвящена более детальному рассмотрению туннелирования электронов через нестационарный потенциальный барьер в приближении малой амплитуды переменного электрического поля. В этой работе рассмотрено влияние постоянного напряжения смещения, а также высоты и толщины потенциального барьера на величину высокочастотного электронного тока через нестационарный туннельный барьер. Кроме того, определены пределы применимости режима одноквантовых электронных переходов в зависимости от величины приложенного постоянного напряжения смещения, амплитуды и частоты переменного напряжения смещения, а также высоты и толщины туннельного барьера. При этом величина кванта электромагнитного поля не считалась малой по сравнению с высотой туннельного барьера и начальной энергией электронов. В работе [13] приведены также численные оценки величины плотности высокочастотного электронного тока через нестационарный потенциальный барьер в зависимости от приложенного постоянного напряжения смещения для типичных значений параметров туннельных переходов.

Туннелирование электронов через нестационарный магнитный туннельный переход исследовано еще недостаточно. Так, в работе [14] был рассмотрен лишь низкочастотный случай ($\omega < 40$ МГц) с использованием метода эквивалентных схем.

Настоящая работа посвящена развитию теории туннелирования электронов через нестационарный туннельный переход ферромагнитный металл-диэлектрик-ферромагнитный металл в приближении малой амплитуды переменного электри-

ческого поля. В рамках модели одноквантовых электронных переходов вычислена плотность высокочастотного электронного тока через нестационарный магнитный туннельный переход и исследована зависимость высокочастотного туннельного магнитосопротивления от приложенного постоянного напряжения смещения для различных амплитуд и частот переменного напряжения смещения, а также высот и толщин потенциального барьера. При этом величина кванта электромагнитного поля не считалась малой по сравнению с высотой потенциального барьера и начальной энергией электронов.

1. Постановка задачи. Рассмотрим потенциальный барьер толщиной d и высотой U_B , расположенный между двумя идентичными ферромагнитными областями 1 и 2 (рис. 1). Моноэнергетический поток электронов с энергией ε движется вдоль оси z и падает слева на барьер, частично отражаясь назад и частично проникая в правую область 2. Для простоты величина эффективной электронной массы m в каждой из областей считается одинаковой и равной массе свободного электрона m_0 . К потенциальному барьеру прикладывается постоянное $V_a = E_0 d$ и переменное $\tilde{V}_a(t) = V_{ac} \cos \omega t$ напряжения смещения, где $V_{ac} = E_{ac} d$, E_0 и E_{ac} – напряженности постоянного и переменного электрических полей в потенциальном барьере соответственно.

Будем считать, что намагничивание ферромагнитных областей может быть или параллельным (рис. 1, а), или антипараллельным (рис. 1, б). Мы полагаем также, что намагничивание изменяет ориентацию только в правой ферромагнитной области. В ферромагнитных областях была использована двухзонная модель свободных электронов, в рамках которой две спиновые зоны являются параболическими. Величина расщепления энергетических зон с разным направлением спина электрона в ферромагнитных областях принималась равной 2Δ . Энергию электронов с определенным направлением спина будем отсчитывать от дна соответствующей спиновой зоны в левой ферромагнитной области. Мы принимаем, что в ферромагнитных областях электроны со спином вверх имеют большую энергию Ферми $E_{F\uparrow}$ ($E_{F\uparrow} = \mu + \Delta$, μ – электрохимический потенциал), чем электроны со спином вниз ($E_{F\downarrow} = \mu - \Delta$). В дальнейшем электроны со спином вверх мы будем называть электронами основной поляризации, а электроны со спином вниз – электронами неосновной поляризации.

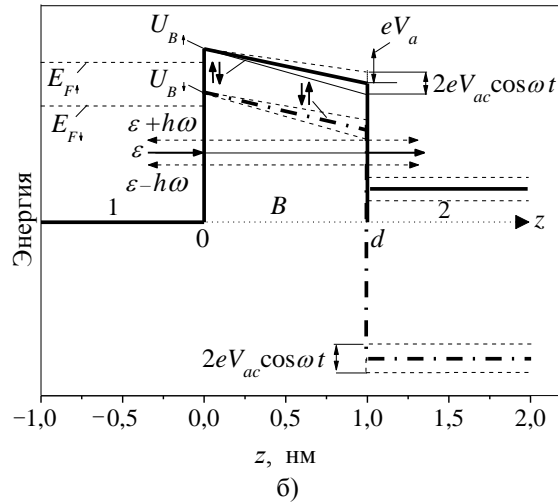
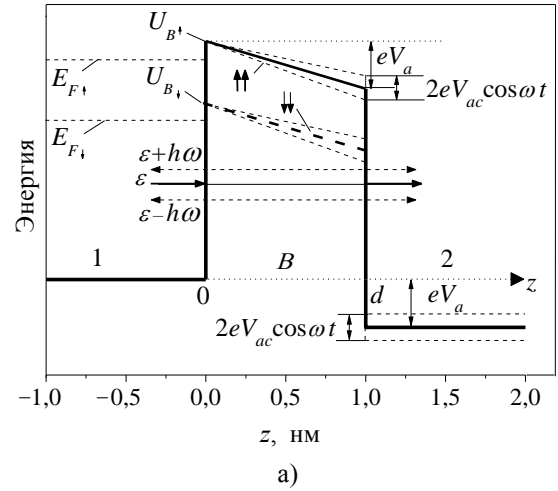


Рис. 1. Потенциальный профиль нестационарного магнитного туннельного барьера для параллельной (а) и антипараллельной (б) ориентаций намагниченностей ферромагнитных электродов

На рис. 1 представлен потенциальный профиль нестационарного магнитного потенциального барьера при воздействии на него постоянного и переменного напряжений смещения в случае параллельной (рис. 1, а) и антипараллельной (рис. 1, б) ориентаций намагниченностей ферромагнитных областей. Сплошные и штрихпунктирные линии соответствуют потенциальному профилю туннельного перехода для электронов основной и неосновной поляризации соответственно. Двумя стрелками обозначена ориентация спина электрона по отношению к намагниченностям левой и правой ферромагнитных областей: первая стрелка соответствует ориентации спина электрона относительно ориентации намагниченности левой области, вторая стрелка – ориентации спина электрона относительно ориентации намагниченности правой области.

Из рис. 1 видно, что электроны с различным направлением спина движутся в различном потенциальном поле при фиксированной ориентации намагниченностей ферромагнитных областей. Это означает, что коэффициент прохождения электронов через нестационарный магнитный туннельный барьер является спин-зависимым.

Для нахождения плотности высокочастотного электронного тока через нестационарный магнитный туннельный барьер необходимо найти решение уравнения Шредингера в каждой из рассматриваемых областей.

$$i\hbar \frac{\partial \psi_1}{\partial t} = -\frac{\hbar^2}{2m} \frac{\partial^2 \psi_1}{\partial z^2}, \quad z < 0; \quad (1)$$

$$i\hbar \frac{\partial \psi_B}{\partial t} = -\frac{\hbar^2}{2m} \frac{\partial^2 \psi_B}{\partial z^2} + (U_{B\sigma_L} - eE_0 z - eE_{ac} z \cos \omega t) \psi_B, \quad 0 < z < d; \quad (2)$$

$$i\hbar \frac{\partial \psi_2}{\partial t} = -\frac{\hbar^2}{2m} \frac{\partial^2 \psi_2}{\partial z^2} - ((\sigma_L - \sigma_R) \times \Delta + eV_a + eV_{ac} \cos \omega t) \psi_2, \quad z > d, \quad (3)$$

где $\psi_1(z, t)$, $\psi_B(z, t)$ и $\psi_2(z, t)$ – волновые функции электронов в указанных на рис. 1 областях; $U_{B\sigma_L} = U_B + \sigma_L \Delta$; \hbar – постоянная Планка; e – заряд электрона; $\sigma_{L,R} = \pm 1$ – спиновые индексы Паули, соответствующие ориентации спина электрона вдоль (знак «+» или \uparrow) или против (знак «-» или \downarrow) направления намагничивания левой (индекс L) или правой (индекс R) ферромагнитной области.

Прохождение электронов с начальной энергией ε через нестационарный туннельный барьер сопровождается появлением отраженных и прошедших электронных волн с энергиями $\varepsilon \pm \hbar\omega$. Мы ограничимся рассмотрением случая малой амплитуды переменного электрического поля E_{ac} и будем учитывать лишь основные гармоники с энергиями $\varepsilon \pm \hbar\omega$ (режим одноквантовых электронных переходов). Точные условия применимости такого подхода будут приведены ниже.

С учетом вышеуказанного приближения волновая функция электронов в области 1 имеет следующий вид

$$\psi_1 = e^{-i\omega_0 t} (e^{ik_1^{(0)} z} + A e^{-ik_1^{(0)} z} + A^{(+)} e^{-i(k_1^{(+)} z + \omega t)} + A^{(-)} e^{-i(k_1^{(-)} z - \omega t)}), \quad (4)$$

где A , $A^{(\pm)}$ – амплитуды отраженных волн для основной электронной волны и ее двух первых гармоник соответственно;

$$\omega_0 = \varepsilon / \hbar;$$

$$k_L^{(j)} = \sqrt{2m(\varepsilon + j\hbar\omega)} / \hbar;$$

$$k_{R\sigma_L\sigma_R}^{(j)} = \sqrt{2m(\varepsilon + j\hbar\omega - (\sigma_L - \sigma_R)\Delta + eV_a)} / \hbar; \quad j = 0, \pm 1.$$

В области барьера точное решение уравнения Шредингера (2) для электронов с начальной энергией ε выражается через функцию Эйри $\text{Ai}(z)$ [9, 10]:

$$\psi_B^{(0)}(z, t) = \text{Ai}[\rho_{(0)}(z) + \beta(t)] \times \exp\left[-i\omega_0 t + i \frac{eE_{ac} z}{\hbar\omega} \sin \omega t + f(t)\right]; \quad (5)$$

$$\beta(t) = -\frac{e^2 E_{ac} E_0 \gamma}{m\omega^2} \cos \omega t; \quad (6)$$

$$f(t) = -i \frac{e^2 E_0 E_{ac}}{m\hbar\omega^3} \sin \omega t - i \frac{e^2 E_{ac}^2}{4m\hbar\omega^2} \left(t - \frac{\sin 2\omega t}{2\omega}\right), \quad (7)$$

где

$$\rho_{(j)}(z) = \gamma [U_{B\sigma_L} - (\varepsilon + j\hbar\omega) - eE_0 z];$$

$$\gamma = \left(\frac{2m}{e^2 E_0 \hbar^2}\right)^{1/3}; \quad j = 0, \pm 1.$$

Второе линейно-независимое решение уравнения Шредингера (2) получается из уравнения (5) путем замены $\text{Ai}(z)$ на другую функцию Эйри $\text{Bi}(z)$.

В линейном по малой амплитуде E_{ac} приближении выражение (5) имеет вид

$$\psi_B^{(0)} = e^{-i\omega_0 t} \left\{ \left[1 + \frac{eE_B}{2\hbar\omega} \left(z - \frac{eE_0}{m\omega^2}\right) (e^{i\omega t} - e^{-i\omega t}) \right] \text{Ai}(\rho_{(0)}) - \frac{e^2 E_{ac} E_0 \gamma}{m\omega^2} (e^{i\omega t} + e^{-i\omega t}) \text{Ai}'(\rho_{(0)}) \right\}. \quad (8)$$

Выражение (8) имеет место при выполнении трех неравенств, которые определяют необходимые условия режима одноквантовых электронных переходов:

$$\alpha_1 = \frac{e^2 E_{ac} E_0 \gamma}{m\omega^2} \ll 1; \quad (9)$$

$$\alpha_2 = \frac{eE_{ac} d}{\hbar\omega} \ll 1; \quad (10)$$

$$\alpha_3 = \frac{e^2 E_{ac} E_0}{m\hbar\omega^3} \ll 1. \quad (11)$$

Наиболее жестким условием на частоту и амплитуду переменного электрического поля,

как показано в работе [13], является неравенство (11). По этой причине при проведении численных расчетов нам достаточно было обеспечить выполнение условия (11). Для этого мы выбирали определенное значение $\alpha_{\max} < 1$ и из условия $\alpha_3 = \alpha_{\max}$ при фиксированных значениях d , V_a и V_{ac} находили критические значения частот, начиная с которых справедлив режим одноквантовых электронных переходов.

$$\begin{aligned} \psi_B(z, t) = & A_B e^{-i\omega_0 t} \left\{ \left[1 + \frac{eE_{ac}}{2\hbar\omega} \left(z - \frac{eE_0}{m\omega^2} \right) (e^{i\omega\omega} - e^{-i\omega\omega}) \right] Ai(\rho_{(0)}) - \frac{e^2 E_{ac} E_0 \gamma}{m\omega^2} (e^{i\omega\omega} + e^{-i\omega\omega}) Ai'(\rho_{(0)}) \right\} + \\ & + B_B e^{-i\omega_0 t} \left\{ \left[1 + \frac{eE_{ac}}{2\hbar\omega} \left(z - \frac{eE_0}{m\omega^2} \right) (e^{i\omega\omega} - e^{-i\omega\omega}) \right] Bi(\rho_{(0)}) - \frac{e^2 E_{ac} E_0 \gamma}{m\omega^2} (e^{i\omega\omega} + e^{-i\omega\omega}) Bi'(\rho_{(0)}) \right\} + \\ & + A_B^{(+)} e^{-i(\omega_0 + \omega)t} Ai(\rho_{(+1)}) + A_B^{(-)} e^{-i(\omega_0 - \omega)t} Ai(\rho_{(-1)}) + \\ & + B_B^{(+)} e^{-i(\omega_0 + \omega)t} Bi(\rho_{(+1)}) + B_B^{(-)} e^{-i(\omega_0 - \omega)t} Bi(\rho_{(-1)}), \end{aligned} \quad (12)$$

где A_B , B_B , $A_B^{(\pm)}$, $B_B^{(\pm)}$ – постоянные коэффициенты.

В области 2 (рис. 1) уравнение Шредингера (3) для электронов с энергией ε имеет точное решение:

$$\psi_2^{(0)}(z, t) = \exp\left(-i\omega_0 t + i \frac{eV_{ac}}{\hbar\omega} \sin \omega t\right). \quad (13)$$

$$\psi_2(z, t) = e^{-i\omega_0 t} \left\{ C^{(0)} \left[1 + \frac{eV_{ac}}{2\hbar\omega} (e^{i\omega t} - e^{-i\omega t}) \right] e^{ik_2 z} + C^{(+)} e^{ik_2^{(+)} z - i\omega t} + C^{(-)} e^{ik_2^{(-)} z + i\omega t} \right\}, \quad (14)$$

где $C^{(0)}$ и $C^{(\pm)}$ – постоянные коэффициенты.

Из условий непрерывности волновых функций и их первых производных в каждый момент времени на границах $z = 0$ и $z = d$ находим систему уравнений для нахождения постоянных коэффициентов, входящих в уравнения (4), (12) и (14).

Зная волновую функцию электронов в области 2, можно определить плотность тока через магнитный туннельный переход [15, 16]. Нас будет интересовать высокочастотная составляющая плотности электронного тока $j_{ac}(\omega)$. Она представляет собой сумму парциальных плотностей токов $j_{ac}^{(+1)}$ и $j_{ac}^{(-1)}$, создаваемых электронами с энергиями $\varepsilon \pm \hbar\omega$.

Высокочастотную составляющую плотности электронного тока можно представить в следующем виде:

$$j_{ac}(\omega) = j_{ac}^a \cos \omega t + j_{ac}^r \sin \omega t. \quad (15)$$

Амплитуды волновых функций электронов с энергиями $\varepsilon \pm \hbar\omega$ малы из-за малости периодического возмущения потенциального барьера. Поэтому волновые функции для электронов с энергиями $\varepsilon \pm \hbar\omega$ в потенциальном барьере и в среде 2 (см. рис. 1) можно определить из уравнений (2) и (3), пренебрегая в них переменными полями. В результате полная волновая функция для электронов в нестационарном потенциальном барьере имеет следующий вид:

Раскладывая выражение (13) по степеням малого параметра $\alpha_1 \ll 1$ и оставляя лишь линейные по V_{ac} слагаемые, находим полную волновую функцию электронов в области 2 (рис. 1) (с учетом двух первых гармоник с энергиями $\varepsilon \pm \hbar\omega$):

Здесь j_{ac}^a – активная (совпадающая по фазе с полем) и j_{ac}^r – реактивная (находящаяся в противофазе с полем) составляющие плотности высокочастотного электронного тока.

Необходимо отметить, что вклад в j_{ac}^a и j_{ac}^r дают электроны как со спином вверх, так и со спином вниз. Кроме того, величины j_{ac}^a и j_{ac}^r зависят от взаимной ориентации намагниченностей ферромагнитных областей. Поэтому мы вводим отдельные выражения для активной и реактивной составляющих высокочастотного тока для каждой ориентации намагниченностей ферромагнитных областей с учетом наличия электронов как со спином вверх, так и со спином вниз:

$$J_P^{a,r} = J_{\uparrow\uparrow}^{a,r} + J_{\downarrow\downarrow}^{a,r}; \quad (16)$$

$$J_{AP}^{a,r} = J_{\uparrow\downarrow}^{a,r} + J_{\downarrow\uparrow}^{a,r}. \quad (17)$$

В выражениях (16) и (17) мы опустили индекс ac для высокочастотных составляющих электронного тока и использовали индексы P для параллельной и AP для антипараллельной ориентаций намагниченностей ферромагнитных областей. При этом стрелки указывают на направление спина электрона по отношению к намагниченностям левой и правой ферромагнитных областей, соответственно.

Нас будет интересовать плотность высокочастотного электронного тока на выходе из потенциального барьера при $z = d$. В этом случае входящие в формулы (16) и (17) выражения для парциальных токов $J_{\sigma_L\sigma_R}^{a,r}$ определяются формулой [15–17]

$$J_{\sigma_L\sigma_R}^{a,r} = \frac{emkT}{2\pi^2\hbar^3} \int_0^\infty T_{\sigma_L\sigma_R}^{a,r} \ln \left(\frac{1 + \exp[(E_{F\sigma_L} - E)/kT]}{-1 + \exp[(E_{F\sigma_L} - E - eV_a)/kT]} \right) dE, \quad (18)$$

где $T_{\sigma_L\sigma_R}^{a,r}$ – коэффициент прохождения электронов через потенциальный барьер с излучением или поглощением кванта электромагнитной энергии $\hbar\omega$.

Выражение для $T_{\sigma_L\sigma_R}^{a,r}$ имеет вид

$$T_{\sigma_L\sigma_R}^{a,r} = T_{\sigma_L\sigma_R}^{a,r(+)} + T_{\sigma_L\sigma_R}^{a,r(-)}, \quad (19)$$

где

$$T_{\sigma_L\sigma_R}^{a(+)} = \frac{k_{R\sigma_L\sigma_R}^{(0)} + k_{R\sigma_L\sigma_R}^{(+)}}{k_L^{(0)}} \times \quad (20)$$

$$\times \operatorname{Re}(C_{\sigma_L\sigma_R}^{(+)} C_{\sigma_L\sigma_R}^{(0)*});$$

$$T_{\sigma_L\sigma_R}^{r(+)} = \frac{k_{R\sigma_L\sigma_R}^{(0)} + k_{R\sigma_L\sigma_R}^{(+)}}{k_L^{(0)}} \times \quad (21)$$

$$\times \operatorname{Im}(C_{\sigma_L\sigma_R}^{(+)} C_{\sigma_L\sigma_R}^{(0)*}).$$

Выражения для $T_{\sigma_L\sigma_R}^{a,r(-)}$ имеют различный вид в зависимости от того, является ли $k_R^{(-)}$ вещественной или чисто мнимой величиной (в последнем случае электрон, поглотив квант электромагнитной энергии, попадает в запрещенную зону области 2). В случае $\varepsilon - \hbar\omega + V_a > 0$ имеем:

$$T_{\sigma_L\sigma_R}^{a(-)} = \frac{k_{R\sigma_L\sigma_R}^{(0)} + k_{R\sigma_L\sigma_R}^{(-)}}{k_L^{(0)}} \times \quad (22)$$

$$\times \operatorname{Re}(C_{\sigma_L\sigma_R}^{(-)} C_{\sigma_L\sigma_R}^{(0)*});$$

$$T_{\sigma_L\sigma_R}^{r(-)} = -\frac{k_{R\sigma_L\sigma_R}^{(0)} + k_{R\sigma_L\sigma_R}^{(-)}}{k_L^{(0)}} \times \quad (23)$$

$$\times \operatorname{Im}(C_{\sigma_L\sigma_R}^{(-)} C_{\sigma_L\sigma_R}^{(0)*}).$$

В противоположном случае $\varepsilon - \hbar\omega + V_a < 0$ находим:

$$T_{\sigma_L\sigma_R}^{a(-)} = \frac{k_{R\sigma_L\sigma_R}^{(0)}}{k_L^{(0)}} \operatorname{Re}(C_{\sigma_L\sigma_R}^{(-)} C_{\sigma_L\sigma_R}^{(0)*}) - \quad (24)$$

$$- \frac{|k_{R\sigma_L\sigma_R}^{(-)}|}{k_L^{(0)}} \operatorname{Im}(C_{\sigma_L\sigma_R}^{(-)} C_{\sigma_L\sigma_R}^{(0)*});$$

$$T_{\sigma_L\sigma_R}^{r(-)} = -\frac{k_{R\sigma_L\sigma_R}^{(0)}}{k_L^{(0)}} \operatorname{Im}(C_{\sigma_L\sigma_R}^{(-)} C_{\sigma_L\sigma_R}^{(0)*}) - \quad (25)$$

$$- \frac{|k_{R\sigma_L\sigma_R}^{(-)}|}{k_L^{(0)}} \operatorname{Re}(C_{\sigma_L\sigma_R}^{(-)} C_{\sigma_L\sigma_R}^{(0)*}).$$

Выражения для $C_{\sigma_L\sigma_R}^{(j)}$ слишком громоздкие, они приводиться не будут.

Мы будем исследовать как активное TMR_{ac}^a , так и реактивное TMR_{ac}^r магнитосопротивления магнитного туннельного перехода. По аналогии с определением магнитосопротивления на постоянном токе будем считать, что

$$TMR_{ac}^a = \frac{J_P^a - J_{AP}^a}{J_P^a}; \quad (26)$$

$$TMR_{ac}^r = \frac{J_P^r - J_{AP}^r}{J_P^r}. \quad (27)$$

В дальнейшем мы приведем результаты численных расчетов $TMR_{ac}^{a,r}(V_a)$ для нескольких наиболее интересных случаев прохождения электронов через нестационарный магнитный туннельный переход.

2. Численные расчеты. При проведении численных расчетов будем считать, что $T = 300$ К и $\alpha_{\max} = 0,2$. В качестве ферромагнитных областей мы рассматриваем железо, для которого фермиевские импульсы электронов с различным направлением спина равны $k_{F\uparrow} = 1,09$ А и $k_{F\downarrow} = 0,42$ А. Используя эти численные значения, находим: $\mu \approx 2,6$ эВ,

$\Delta \approx 1,93$ эВ, $E_{F\uparrow} \approx 4,53$ эВ, $E_{F\downarrow} \approx 0,67$ эВ. Как и в работах [13, 15], мы будем измерять высоту потенциального барьера U_B с помощью безразмерной величины $u_B = (U_B - \mu) / E_{F\uparrow}$.

На рис. 2 представлены зависимости $TMR_{ac}^a(V_a)$ (левая ось ординат, сплошные линии – 1) и $TMR_{ac}^r(V_a)$ (правая ось ординат, штриховые линии – 2) при $\omega = 5 \cdot 10^{13} \text{ с}^{-1}$, $V_{ac} = 10^{-4} \text{ В}$ для трех значений толщины туннельного перехода d .

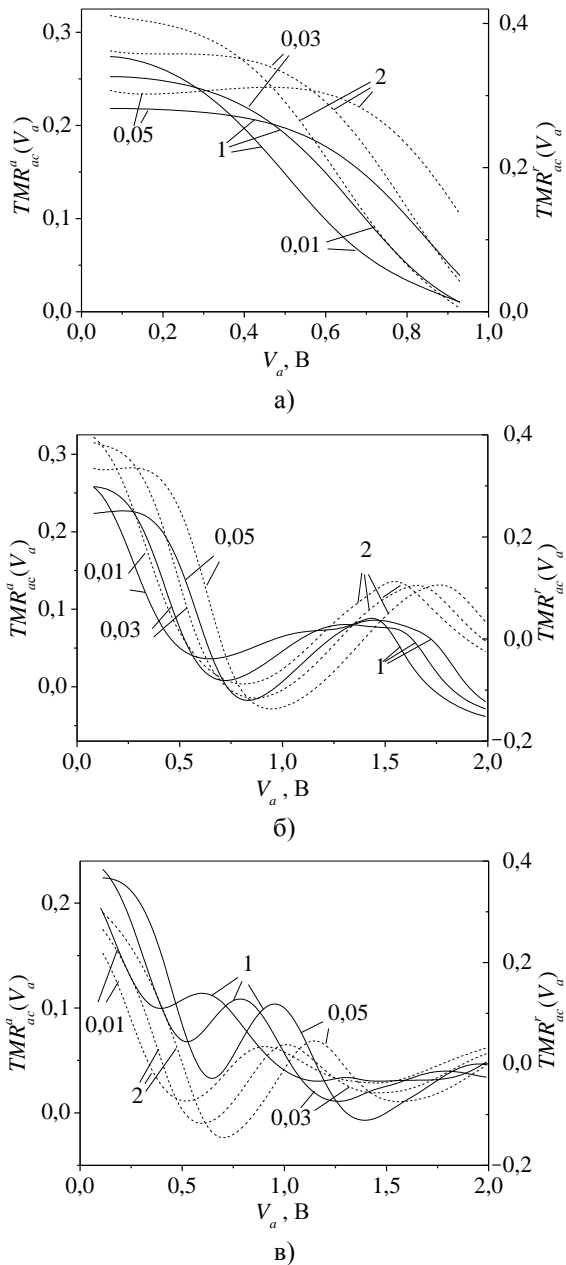


Рис. 2. Зависимости $TMR_{ac}^a(V_a)$ – 1 и $TMR_{ac}^r(V_a)$ – 2: а) $d = 1,0$ нм; б) $d = 1,5$ нм; в) $d = 2,0$ нм

Цифры возле кривых соответствуют безразмерным высотам потенциального барьера u_B . Необходимо отметить, что мы ограничились рассмотрением невысоких потенциальных барьеров, поскольку они обеспечивают не только большие значения туннельного магнитосопротивления на постоянном токе, но и высокие плотности тока, необходимые для изменения взаимной ориентации намагниченностей ферромагнитных областей [17]. Из рис. 2, а видно, что для тонких потенциальных барьеров величины $TMR_{ac}^{a,r}$ монотонно спадают с увеличением V_a . При этом кривые $TMR_{ac}^{a,r}(V_a)$ оканчиваются в точках, в которых нарушается режим одноквантовых электронных переходов через потенциальный барьер. С увеличением толщины потенциального барьера режим одноквантовых электронных переходов справедлив во всем диапазоне приложенных напряжений смещения вплоть до $V_a = 2$ В. Из рис. 2, б, в также следует, что увеличение толщины потенциального барьера приводит к немонотонным зависимостям как $TMR_{ac}^a(V_a)$, так и $TMR_{ac}^r(V_a)$. На рис. 2, в отчетливо виден осциллирующий характер зависимостей $TMR_{ac}^{a,r}(V_a)$. Отметим, что с увеличением V_a амплитуда осцилляций $TMR_{ac}^{a,r}$ уменьшается. Влияние безразмерной высоты потенциального барьера u_B на $TMR_{ac}^{a,r}$ проявляется по-разному, в зависимости от величины напряжения смещения V_a . Так, например, существуют такие интервалы значений V_a , на которых величина $TMR_{ac}^{a,r}$ растет с увеличением u_B . Для других интервалов V_a величина $TMR_{ac}^{a,r}$, напротив, уменьшается с увеличением u_B . Поэтому для каждого фиксированного значения V_a существует оптимальное значение безразмерной высоты потенциального барьера u_B , при котором величина $TMR_{ac}^{a,r}$ является максимальной.

Увеличение частоты переменного напряжения ω приводит к появлению качественно новых особенностей на зависимостях $TMR_{ac}^{a,r}(V_a)$. Рассмотрим их на примере зависимости $TMR_{ac}^a(V_a)$. Более детальное рассмотрение особенностей поведения $TMR_{ac}^{a,r}(V_a)$ на высоких частотах будет дано в нашей следующей работе. На рис. 3 приведена зависимость $TMR_{ac}^a(V_a)$ при $d = 1,5$ нм, $u_B = 0,03$, $V_{ac} = 10^{-4}$ В для двух значений частоты: $\omega = 2,3 \cdot 10^{14} \text{ с}^{-1}$ и $\omega = 3,0 \cdot 10^{14} \text{ с}^{-1}$. Поведение кривых $TMR_{ac}^a(V_a)$ для указанных час-

тот качественно различно: если при $\omega = 2,3 \cdot 10^{14} \text{ c}^{-1}$ зависимость TMR_{ac}^a является непрерывной функцией V_a , то при $\omega = 3,0 \cdot 10^{14} \text{ c}^{-1}$ функция $TMR_{ac}^a(V_a)$ имеет две точки разрыва. Кривая на рис. 3, а имеет форму резонансной кривой. Это означает, что TMR_{ac}^a имеет резкий максимум при некотором значении V_a . Наличие точек разрыва на зависимостях $TMR_{ac}^a(V_a)$ приводит к тому, что величина TMR_{ac}^a в окрестности точки разрыва может быть как положительной, так и отрицательной.

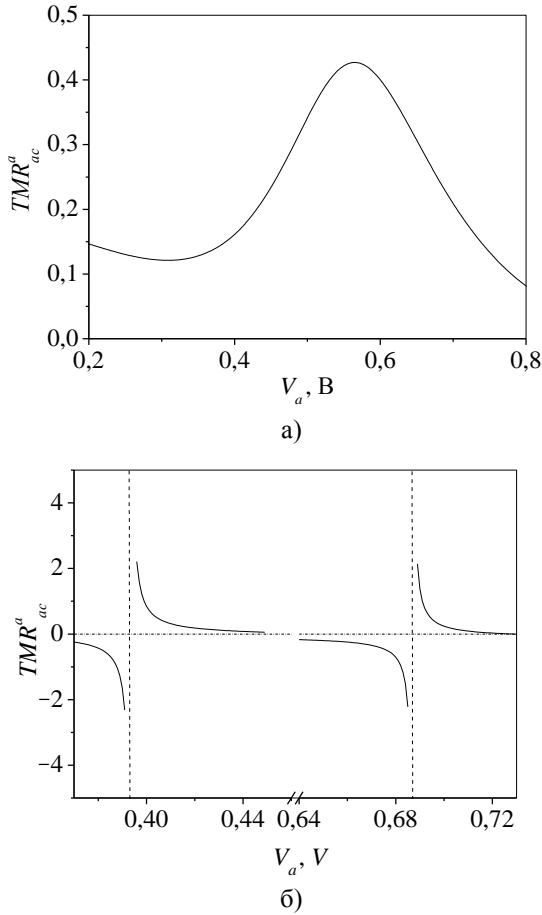


Рис. 3. Зависимость: а) $\omega = 2,3 \cdot 10^{14} \text{ c}^{-1}$; б) $\omega = 3,0 \cdot 10^{14} \text{ c}^{-1}$

Указанные особенности на зависимостях $TMR_{ac}^a(V_a)$ можно объяснить, исследуя поведение кривых $J_P^a(V_a)$ и $J_{AP}^a(V_a)$ для выбранных нами значений частот. На рис. 4 приведены зависимости $J_P^a(V_a)$ (кривая 1) и $J_{AP}^a(V_a)$ (кривая 2) при $d = 1,5 \text{ нм}$, $u_B = 0,03$, $V_{ac} = 10^{-4} \text{ В}$ для двух значений частоты $\omega = 2,3 \cdot 10^{14} \text{ c}^{-1}$ и $\omega = 3,0 \cdot 10^{14} \text{ c}^{-1}$. Как видно из рис. 3, а, J_P^a и J_{AP}^a являются знако-

постоянными и немонотонными функциями V_a . В окрестности точки, в которой величина TMR_{ac}^a является максимальной, плотность тока J_{AP}^a резко уменьшается и достигает своего минимального значения. В то же время J_P^a практически не меняется в окрестности точки экстремума TMR_{ac}^a . Это обстоятельство и приводит к резонансной форме зависимости $TMR_{ac}^a(V_a)$. На рис. 3, б зависимости $J_P^a(V_a)$ и $J_{AP}^a(V_a)$ ведут себя иначе. Так, например, минимум на этих кривых находится в области отрицательных значений плотностей токов. Это означает, что существуют такие значения V_a , для которых или J_P^a , или J_{AP}^a обращаются в ноль. Кроме того, J_{AP}^a может быть как больше, так и меньше J_P^a . Обращение в ноль J_P^a соответствует точкам разрыва на зависимостях $TMR_{ac}^a(V_a)$. Таким образом, в зависимости от выбранного постоянного напряжения смещения V_a величина TMR_{ac}^a может быть как положительной, так и отрицательной.

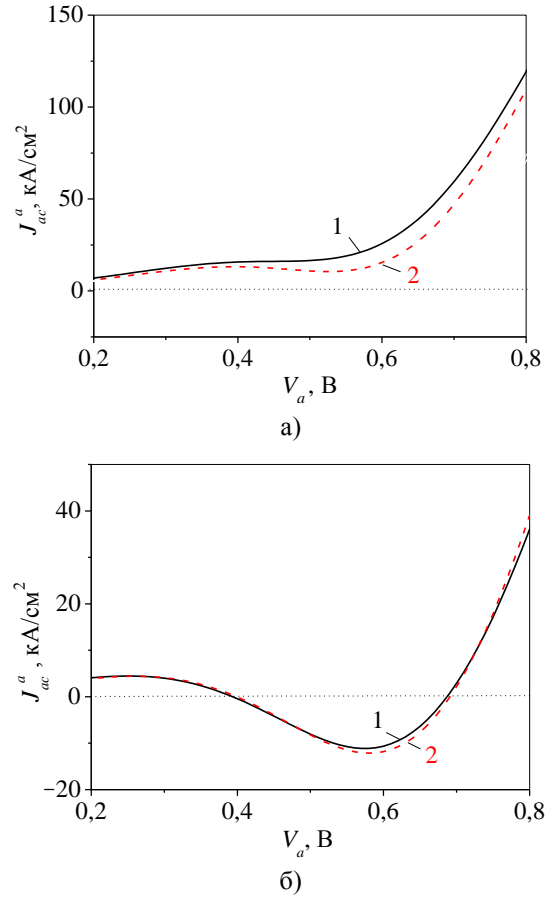


Рис. 4. Зависимость $J_P^a(V_a)$ (кривые 1) и $J_{AP}^a(V_a)$ (кривые 2): а) $\omega = 2,3 \cdot 10^{14} \text{ c}^{-1}$; б) $\omega = 3,0 \cdot 10^{14} \text{ c}^{-1}$

Выводы. Мы установили, что характер зависимостей $TMR_{ac}^{a,r}(V_a)$ во многом определяется частотой переменного напряжения смещения, приложенного к туннельному переходу. При сравнительно низких частотах ($\omega \approx 5 \cdot 10^{13} \text{ с}^{-1}$) величины $TMR_{ac}^{a,r}$ убывают с ростом V_a . С увеличением толщины туннельного перехода убывание $TMR_{ac}^{a,r}$ при увеличении постоянного напряжения смещения приобретает осцилляционный характер. На более высоких частотах ($\omega > 2 \cdot 10^{14} \text{ с}^{-1}$) зависимость $TMR_{ac}^a(V_a)$ усложняется. Так, по мере увеличения частоты зависимость $TMR_{ac}^a(V_a)$ вначале носит резонансный характер, а затем она становится разрывной. В последнем случае зависимость $TMR_{ac}^a(V_a)$ имеет две точки разрыва. При этом существует такое значение V_a , при котором величина TMR_{ac}^a может принимать любое заданное значение – как положительное, так и отрицательное. Полученные результаты открывают новые возможности для создания принципиально новых активных и пассивных устройств терагерцевой наноэлектроники.

1. Туннельные явления в твердых телах / Ред. Э. Бурштейн, С. Лундквист. – М.: Мир, 1973. – 367 с.
2. Resonant Tunneling in Semiconductors: Physics and Applications / Ed. by L. L. Chang, E. E. Mendez and C. Tejedor. – N.Y.-London: Plenum Press, 1991. – Vol. 277. – 538 p.
3. Борисенко В. Е., Воробьева А. И., Уткина Е. А. Наноэлектроника. – Минск: БГУ, 2004. – 223 с.
4. Concepts in Spin Electronics / Ed. by S. Maekawa. – New York: Oxford University Press, 2006. – 398 p.
5. Physics and modeling of tera- and nano-devices // Ed. by M. Ryzhii and V. Ryzhii. – New Jersey: World Scientific, 2008. – 194 p.
6. Büttiker M., Landauer R. Transversal time for tunneling // Phys. Rev. Lett. – 1982. – 49, No. 23. – P. 1739–1742.
7. Hagmann M. J. Resonance due to the interaction of the tunneling particles with modulation quanta // Appl. Phys. Lett. – 1995. – 66, No. 7. – P. 789–791.
8. Ивлев Б. И., Мельников В. И. Квазиклассические процессы в высокочастотном поле // Журн. эксперим. и теорет. физики. – 1986. – 90, вып. 6. – С. 2208–2225.
9. Паиковский А. Б. Прохождение электронов через квантоворазмерные структуры в высокочастотных полях // Журн. эксперим. и теорет. физики. – 1996. – 109, вып. 5. – С. 1779–1805.
10. Паиковский А. Б. Нестационарная теория возмущений для задач о прохождении электронов через квантоворазмерные структуры в высокочастотных полях // Физика

- и техн. полупроводников. – 1995. – 29, № 9. – С. 1712–1726.
11. Gribnikov Z. S., Haddad G. I. Time-dependent electron tunneling through time-dependent tunnel barriers // J. Appl. Phys. – 2004. – 96, No. 7. – P. 3831–3838.
 12. Gribnikov Z. S., Haddad G. I. Differential tunnel transparency of a rectangular heterostructural barrier for the terahertz frequency range // J. Appl. Phys. – 2005. – 97, No. 9. – P. 093705(1)–093705(5).
 13. Абдулкадыров Д. В., Белецкий Н. Н. Туннелирование электронов через нестационарный потенциальный барьер // Радиопизика и электроника. – Харьков: Ин-т радиопизики и электрон. НАН Украины. – 2008. – 13, № 2. – С. 218–226.
 14. Chien W. C., Lo C. K., Hsieh L. C. et al. Enhancement and inverse behaviors of magnetoimpedance in a magnetotunneling junction by driving frequency // Appl. Phys. Lett. – 2006. – 89. – 202515.
 15. Tsu R., Esaki L. Tunneling in a finite superlattice // Appl. Phys. Lett. – 1973. – 22, No. 11. – P. 562–564.
 16. Белецкий Н. Н., Борисенко С. А., Яковенко В. М. Магнитосопротивление и спиновая поляризация электронного тока магнитного туннельного перехода // Радиопизика и электроника. – Харьков: Ин-т радиопизики и электрон. НАН Украины. – 2006. – 11, № 1. – С. 87–95.
 17. Beletskii N. N., Berman G. P., Borysenko S. A. et al. Magneto-resistance of magnetic tunnel junctions with low barrier heights // J. Appl. Phys. – 2007. – 101. – 074305.

MAGNETORESISTANCE OF A NON-STATIONARY MAGNETIC TUNNEL JUNCTION

D. V. Abdulkadyrov, N. N. Beletskii

Tunneling of electrons through a non-stationary magnetic tunnel junction in approximation of small amplitude of alternating electric field has been investigated. Dependences of active and passive parts of a high-frequency electronic current density through a magnetic junction on the frequency and the applied constant bias voltage have been studied.

Key word: tunneling electrons, non-stationary magneto junction, high-frequency current.

МАГНІТООПІР НЕСТАЦІОНАРНОГО МАГНІТНОГО ТУНІЛЬНОГО ПЕРЕХОДУ

Д. В. Абдулкадыров, М. М. Білецький

Досліджено тунелювання електронів крізь нестационарний магнітний тунельний перехід у наближенні малої амплітуди змінного електричного поля. Вивчено залежність активної та реактивної складових високочастотного тунельного магнітоопіру переходу від прикладеної постійної напруги зміщення

Ключові слова: тунелювання електронів, нестационарний магнітний тунельний перехід, високочастотний струм.

Рукопись поступила 12 мая 2009 г.